

講義資料

<http://conf.msl.titech.ac.jp/Lecture/>

# 統計力学・半導体

# 課題

バースタイン・モスシフト (縮退半導体の  $E_F$ )  $\Delta E_g$  をキャリア濃度  $N_e$  の関数としてグラフに描け。有効質量は自由電子の質量とし、横軸  $N_e$  は対数プロットせよ

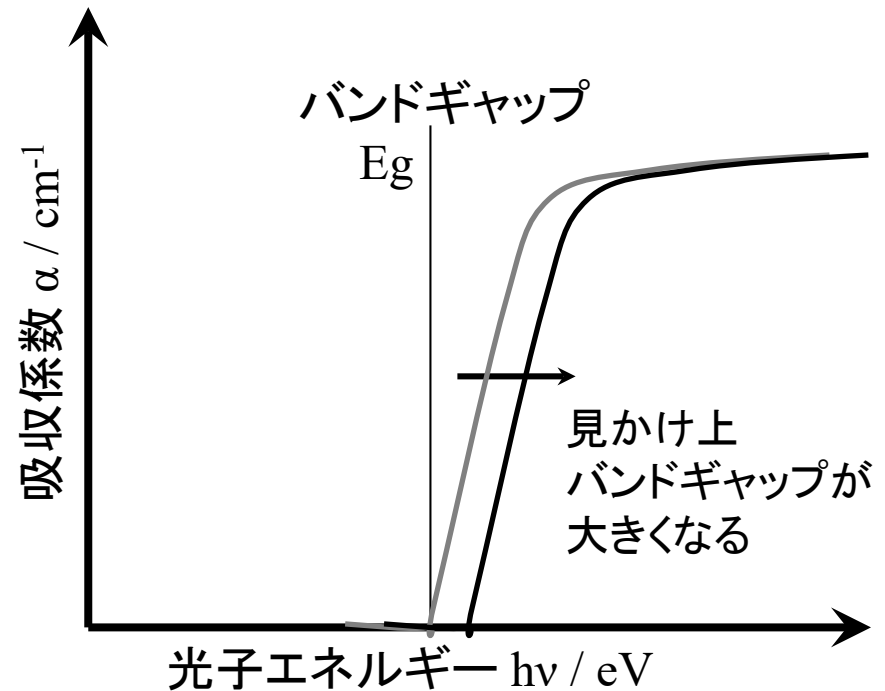
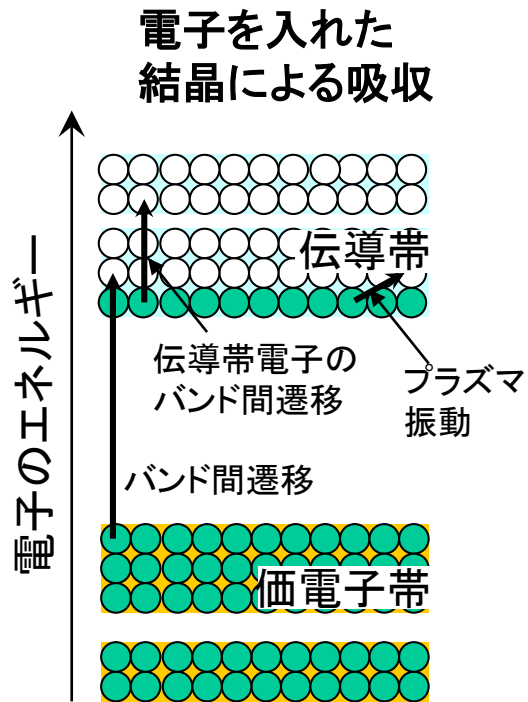
$$\Delta E_g^{BM} = \frac{h^2}{m_{de}} \left( \frac{3N_e}{16\sqrt{2}\pi} \right)^{2/3}$$

PowerPoint 等のプレゼンテーションファイルにして提出

期限: 今日の17:00までに  
できたところまでで可

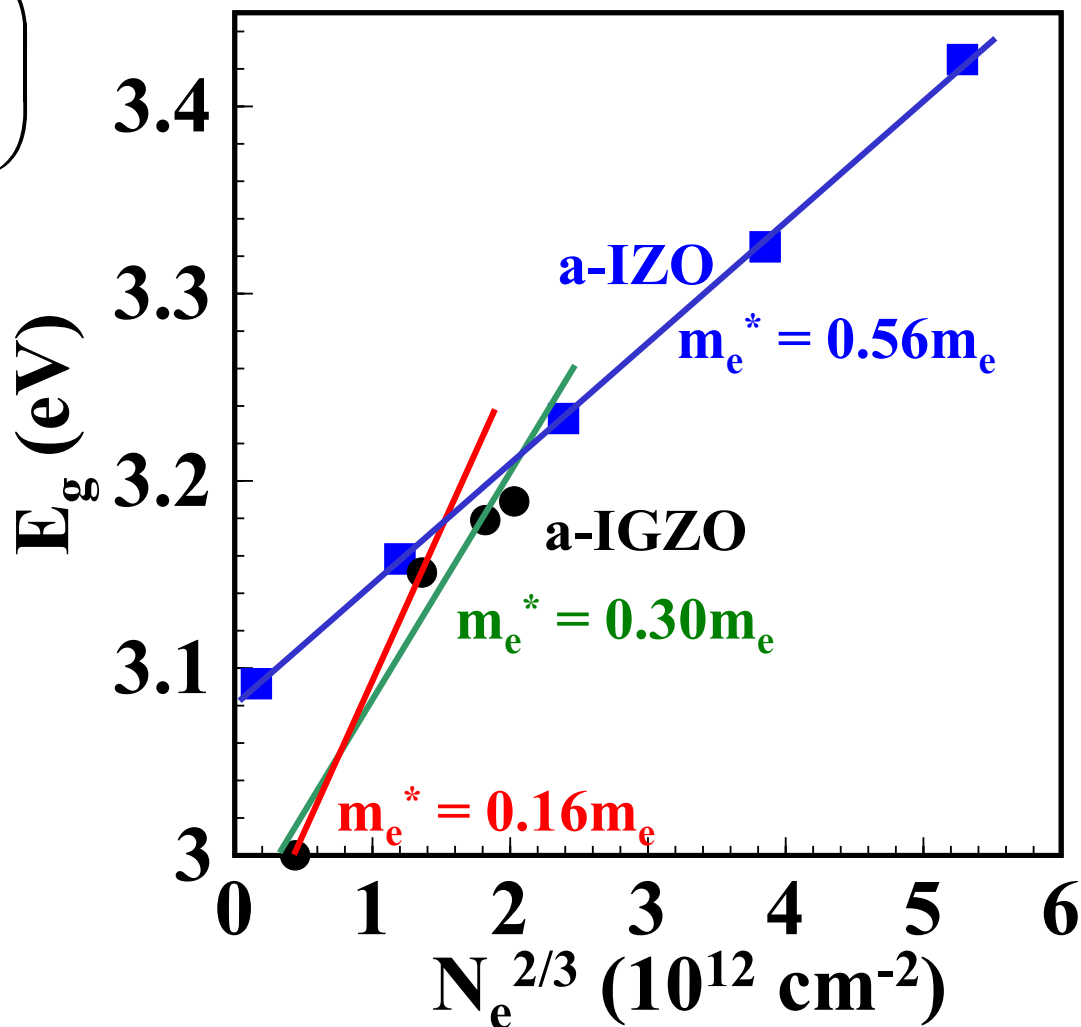
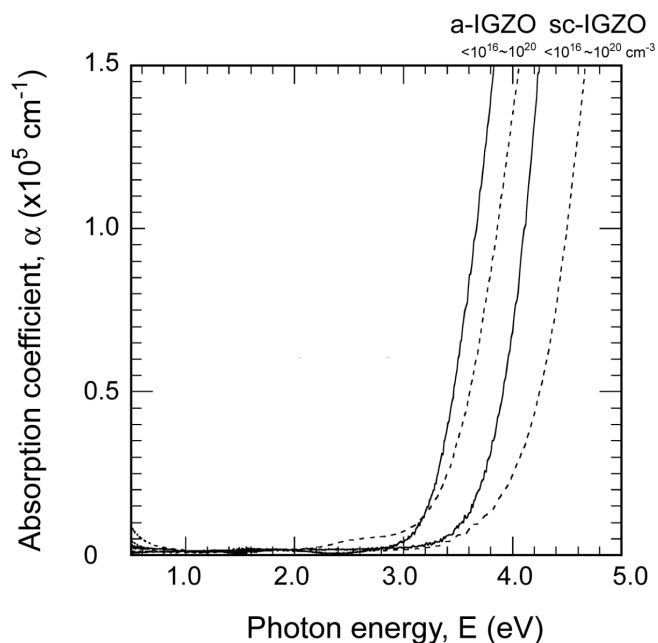
# 高ドーピング半導体の光吸収

## バンドフィリング効果 (Burstein-Moss shift)



# バンドフィリング効果(BMシフト)

$$\Delta E_g^{BM} = \frac{h^2}{m_{de}} \left( \frac{3N_e}{16\sqrt{2}\pi} \right)^{2/3}$$



# 半導体: キャリア輸送

# 移動度とは？

$$\sigma = en\mu$$

## Definition in solid-state physics

一電子の運動方程式  $F = m_e \left( \frac{d}{dt} v - \frac{1}{\tau} v \right) = qE$

$m_e$ : 有効質量

$\tau$  : 運動量緩和時間 (散乱時間)

電子が持っている運動量が散乱を受けて  
0 になる平均時間

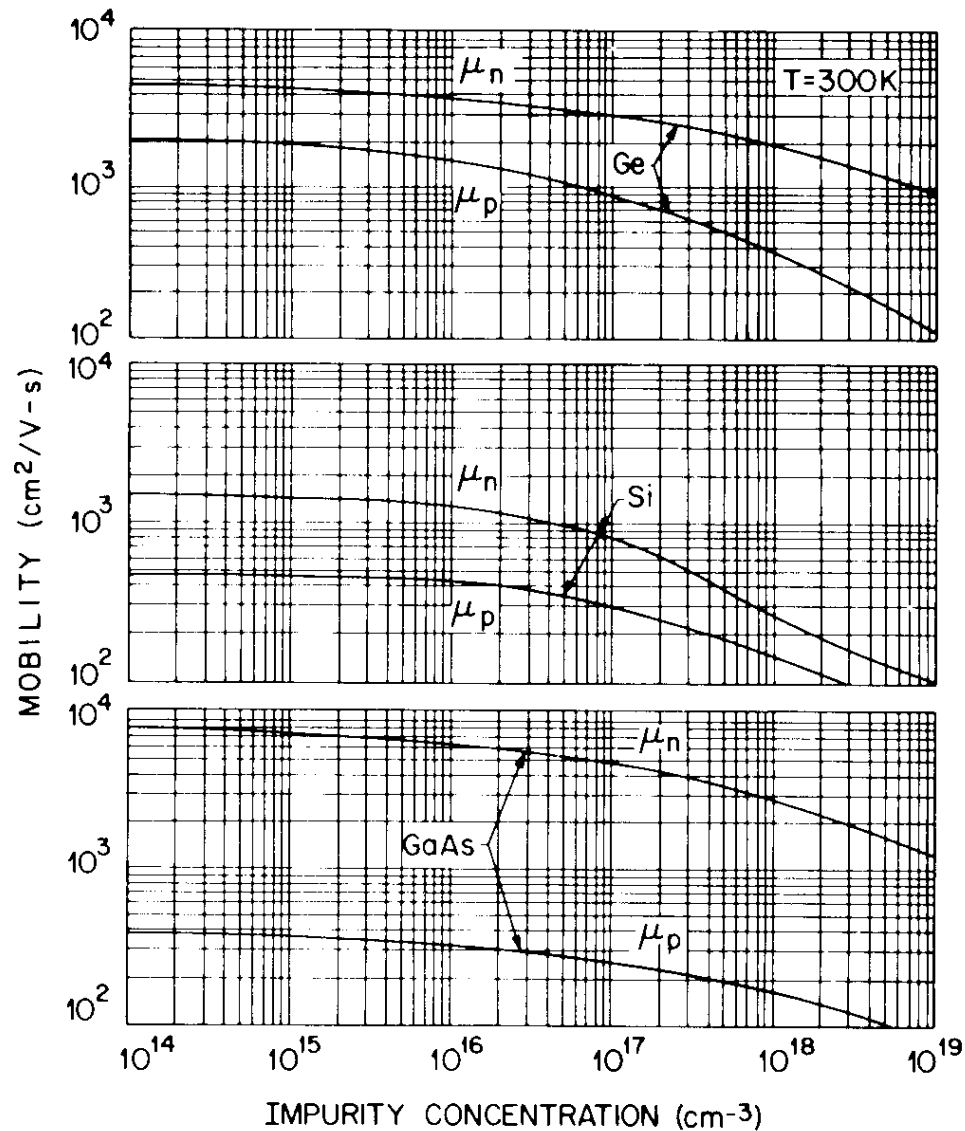
定常状態での速度  $v = \mu E = \frac{e}{m_e} \tau E$

ドリフト速度  $v_d$ : 電界によって駆動される速度

⇔ 熱速度、Fermi速度、拡散速度

ドリフト移動度  $\mu_d = \frac{v_d}{E} = \frac{e}{m_e} \tau$

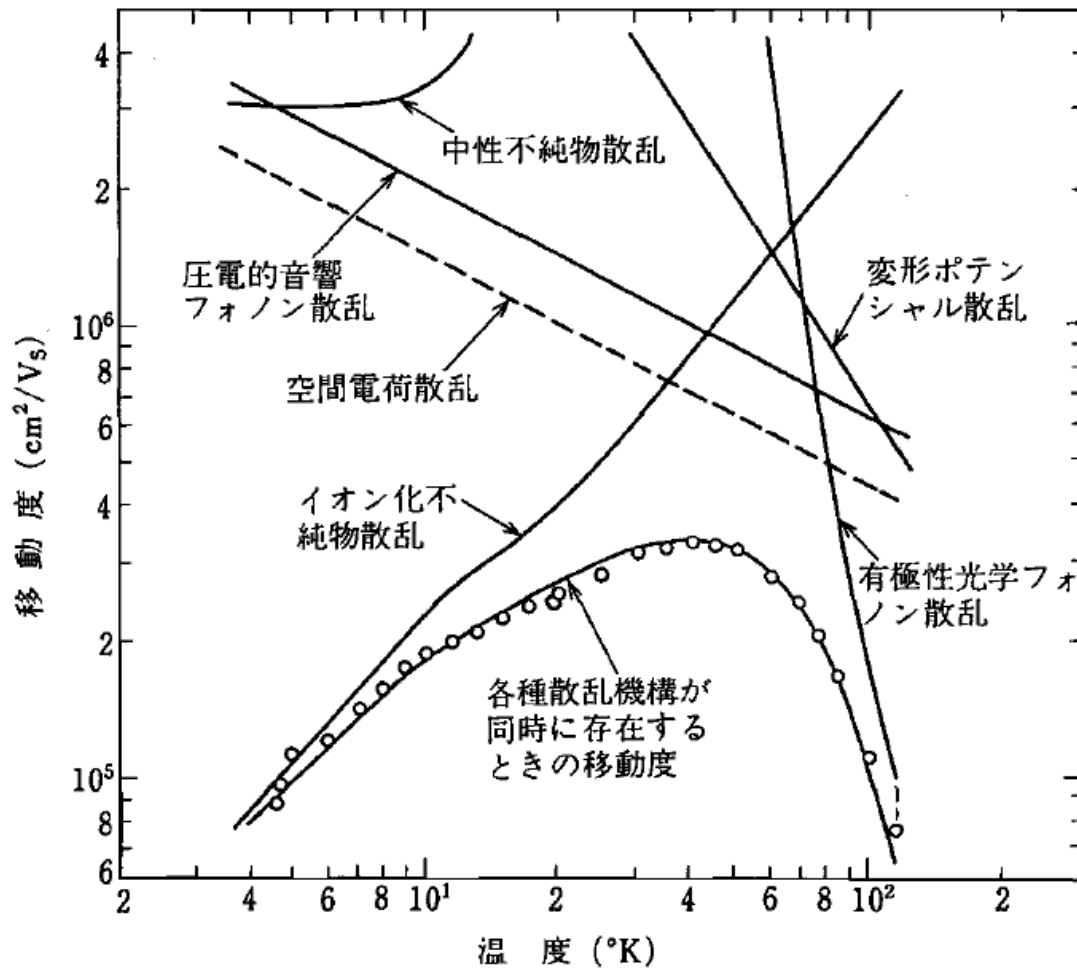
# Mobility vs. doping conc.



# 移動度

## 半導体評価技術

河東田 隆 編著

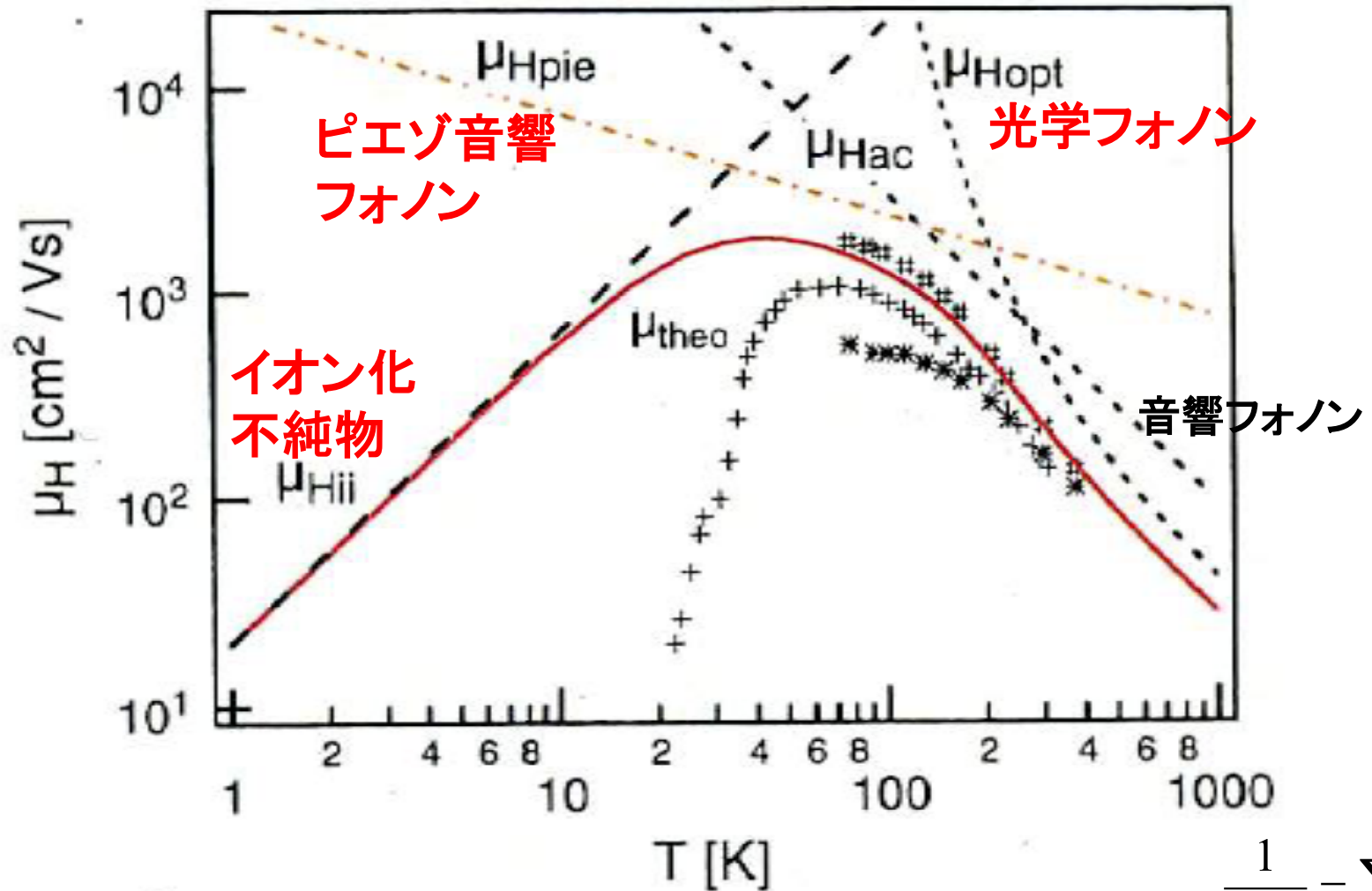


$$\frac{1}{\tau(x)} = \sum \frac{1}{\tau_i(x)}$$

図 6.5 各種散乱機構による電子移動度。GaAs の場合，実線および破線は計算値，○は実測値，各種散乱機構が同時に存在するときの移動度の計算には，空間電荷散乱は考慮されていない。



# ZnOの移動度



K. Ellmer, *Handbook of Transparent Conductors*, Fig. 7.13, p.216,  
 Ed. D.S. Ginley (Springer, New York, 2010)  
 P. Wagner and R. Helbig, *J. Phys. Chem. Solids*, 35 (1974) 327

$$\frac{1}{\tau(x)} = \sum \frac{1}{\tau_i(x)}$$

# 散乱機構と移動度の温度依存性

$$\tau = \tau_0 \epsilon^{r-1/2}$$

$$\mu = \frac{e}{m_e} \langle \tau \rangle = \mu_0 T^s$$

音響フォノン散乱  
(非縮退)

$$\tau = \tau_0 \epsilon^{-1/2}, \mu \propto T^{-3/2}$$

音響フォノン散乱  
(縮退)

$$\tau = \tau_0 \epsilon^{-1/2}, \mu \propto T^{-1}$$

光学フォノン散乱  
 $T \ll \theta_D$ , 高ドーブ

$$\tau = \tau_0 \epsilon^0, \langle \tau \rangle \propto [\exp(\hbar\omega_0 / kT) - 1]$$

光学フォノン散乱  
 $T \ll \theta_D$ , 低ドーブ

$$\tau = \tau_0 \epsilon^0, \langle \tau \rangle \propto T^{1/2}$$

イオン化不純物  
(非縮退)

$$\tau = \tau_0 \epsilon^{3/2}, \mu \propto T^{3/2}$$

イオン化不純物  
(縮退)

$$\tau = \tau_0 \epsilon^{3/2}, \mu \propto T^0$$

中性不純物

$$\tau = \tau_0 \epsilon^0, \mu \propto T^0$$

TABLE 3.2.  $\tau = \tau_0 (\epsilon^*)^{r-1/2}$ 

Scattering centers, r	$\tau_0$	Notation used
Acoustical vibrations (phonon theory), $r=0$	$\frac{9\pi}{4\sqrt{2}} \frac{\hbar^4 \omega^* M}{C^2 a^3 (m^* kT)^{3/2}}$	$\omega$ - velocity of sound; $M$ - atomic mass; $C$ - Bloch constant; $a$ - lattice parameter
Acoustical vibrations (deformation potential theory), $r=0$	$\frac{\pi \hbar^4 C_{11}}{\sqrt{2} P_1^2 (m^* kT)^{3/2}}$	$C_{11}$ - elastic constant for longitudinal vibrations; $E_1 = \Omega_0 dE_0/d\Omega$ ; $E_0$ - energy of allowed band edge; $\Omega_0$ - initial volume of unit cell before deformation
Optical vibrations ( $T \ll \theta_D$ ) in heavily doped crystals, $r=1/2$	$\frac{a^2 M}{2\pi \sqrt{2} m^* (\gamma Z e^2)^2} \times [\exp(\frac{\hbar\omega_0}{kT}) - 1] (1-f_0)$	$\omega_0$ - limiting frequency of longitudinal optical vibrations; $Ze$ - ion charge; $\gamma$ - factor representing the polarizability of ions; $f$ - Fermi function; $\theta_D$ - Debye temperature
Optical vibrations ( $T \ll \theta_D$ ) in lightly	$\frac{a^2 M}{2\pi \sqrt{2} m^* (\gamma Z e^2)^2} \times$	

TABLE III. Approximate  $\epsilon$  and  $T$  dependencies for electron-scattering mechanisms.

Scattering mechanism	Energy dependence of $\tau$	Temperature dependence of $\mu^{\text{nondegen}}$	$\mu^{\text{degen}}$	
Intravalley acoustic phonons	$\epsilon^{-1/2}$	$T^{-1}$	$T^{-3/2}$	$T^{-1}$
Intervalley optical phonons	$\epsilon^{-1/2}$	$T^{-1}$	$T^{-3/2}$	$T^{-1}$
Ionized impurities	$\epsilon^{3/2}$	$T^0$	$T^{3/2}$	$T^0$
Alloy disorder	$\epsilon^{-1/2}$	$T^0$	$T^{-1/2}$	$T^0$
Neutral impurities	$\epsilon^0$	$T^0$	$T^0$	$T^0$

Heavily doped semiconductor, P.86

A model for the high-temperature transport properties of heavily doped n-type silicon-germanium alloys, JAP 69 (1991) 331 Fig. 3

# Hall効果と磁気抵抗効果

# Hall効果

電荷  $q$  (電子:  $-e$ , 正孔:  $+e$ )

$$\mathbf{F} = q(\mathbf{E} + \mathbf{v} \times \mathbf{B})$$

$$m^* \left( \frac{d}{dt} + \frac{1}{\tau} \right) \mathbf{v} = q(\mathbf{E} + \mathbf{v} \times \mathbf{B})$$

$$m^* \left( \frac{d}{dt} + \frac{1}{\tau} \right) v_x = q(E + Bv_y)$$

$$m^* \left( \frac{d}{dt} + \frac{1}{\tau} \right) v_z = 0$$

$$m^* \left( \frac{d}{dt} + \frac{1}{\tau} \right) v_y = q(-Bv_x)$$

$$v_x = -\frac{e\tau}{m^*} E - \omega_c \tau v_y$$

$$v_y = \omega_c \tau v_x \quad v_z = 0 \quad \omega_c = eB/m^*c$$

$$m^* \left( \frac{d}{dt} + \frac{1}{\tau} \right) v_y = q(E_{Hall} - Bv_x)$$

$$E_{Hall} = \frac{H}{c} v_x = \frac{qH\tau}{m^*c} E \quad j_x = \frac{nq^2\tau}{m^*} E_x$$

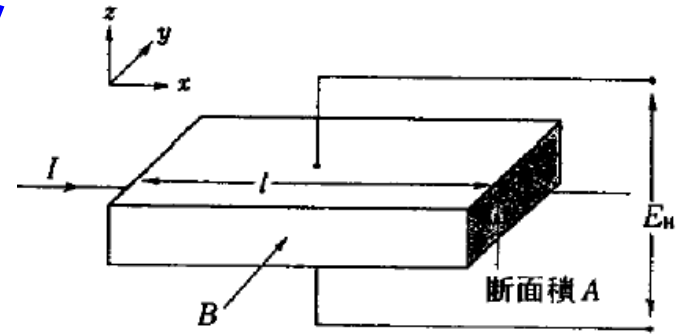
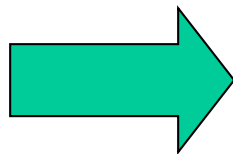


図 3・24 Hall 効果の実験

$$R_H = \frac{E_{Hall}}{j_x B} = \frac{1}{nq}$$



キャリア極性( $R_H$ の符号)、キャリア濃度 $n_{Hall}$ 、移動度 $\mu_{Hall}$

# 六端子Hallバー

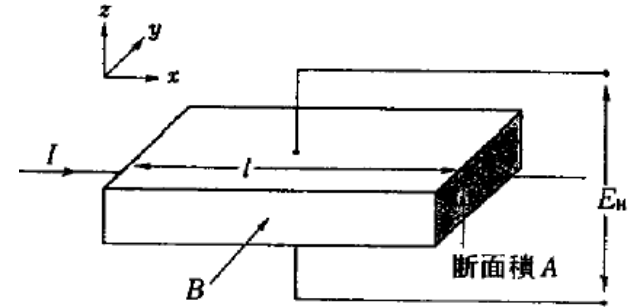
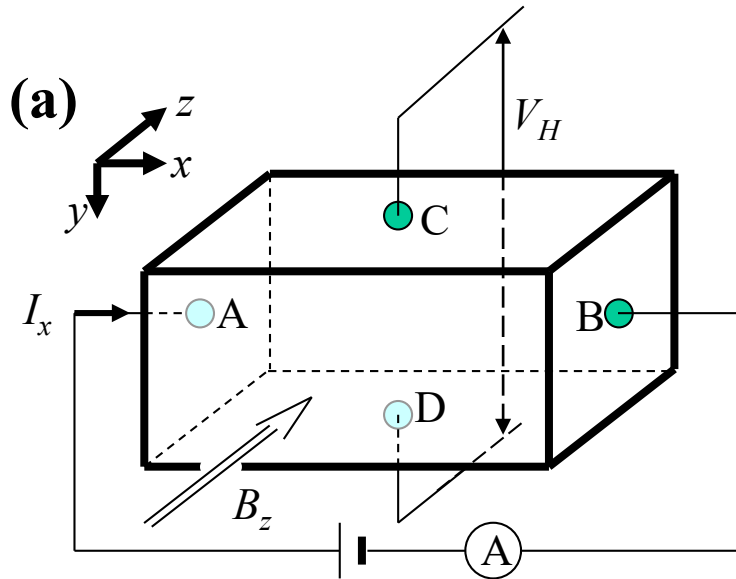
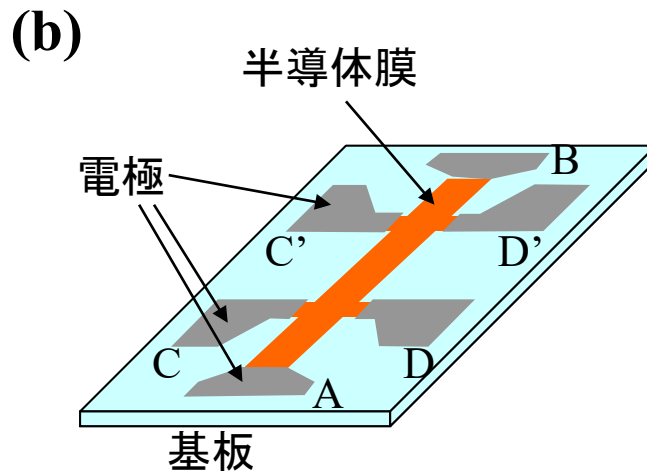


図 3.24 Hall 効果の実験

四端子測定で抵抗率を測定  
電圧端子(C,D)位置を確定する必要



- パターニングが必要
- キャリアの伝導経路をかなり限定できる
- 四端子測定で抵抗率を測定
- 複数のHall電圧端子の組み合わせで信頼性を上げる

## 磁場反転、電流反転測定で誤差を相殺

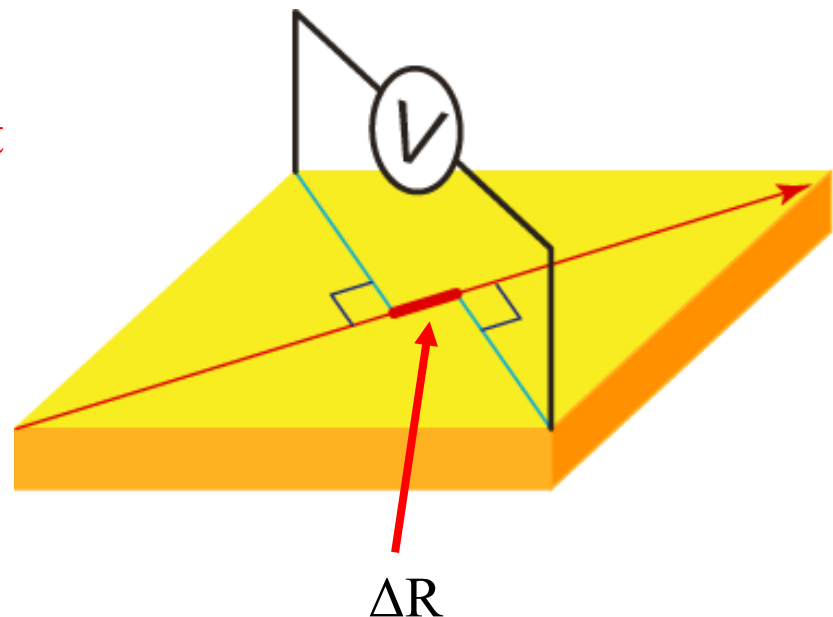
Hall電圧電極がずれている  
試料の $\Delta R$ だけ電圧がずれる

$$V_{\text{obs}}^+ = BIR_{\text{Hall}}/t + I\Delta R$$

- ・ 磁場を反転させて測定

$$V_{\text{obs}}^- = -BIR_{\text{Hall}}/t + I\Delta R$$

$$\Rightarrow (V_{\text{obs}}^+ - V_{\text{obs}}^-)/2 = -BIR_{\text{Hall}}/t$$



# Hall effect

太田英二、坂田亮著、半導体の電子物性光学、培風館 (2005)

$-e$ : Electron charge, Under  $E_x$  and  $B_z$

Motion of dynamics 
$$m_e^* \left( \frac{d\mathbf{v}_i}{dt} + \frac{\mathbf{v}_i}{\tau} \right) = -e(\mathbf{E} + \mathbf{v}_i \times \mathbf{B})$$

Average velocity 
$$\langle \mathbf{v} \rangle = \sum \mathbf{v}_i / n$$

$$m_e^* \left( \frac{d\langle \mathbf{v} \rangle}{dt} + \frac{\langle \mathbf{v} \rangle}{\tau} \right) = -e(\mathbf{E} + \langle \mathbf{v} \rangle \times \mathbf{B})$$

$$m_e^* \langle \mathbf{v} \rangle_x = -e\tau(E_x + \langle \mathbf{v} \rangle_y B_z)$$

$$m_e^* \langle \mathbf{v} \rangle_y = -e\tau(E_y - \langle \mathbf{v} \rangle_x B_z)$$

$$m_e^* \langle \mathbf{v} \rangle_z = -e\tau E_z$$

$$\langle \mathbf{v} \rangle_x = -\frac{e\tau}{m_e^*} \frac{E_x + \frac{e\tau}{m_e^*} B_z E_y}{1 + \left( \frac{e\tau}{m_e^*} \right)^2 B_z^2}$$

$$\langle \mathbf{v} \rangle_y = -\frac{e\tau}{m_e^*} \frac{E_y - \frac{e\tau}{m_e^*} B_z E_x}{1 + \left( \frac{e\tau}{m_e^*} \right)^2 B_z^2}$$

$$\langle \mathbf{v} \rangle_z = -\frac{e\tau}{m_e^*} E_z$$

# Hall effect

太田英二、坂田亮著、半導体の電子物性光学、培風館 (2005)

$$\begin{aligned} \text{Current } \mathbf{J} = -en\langle \mathbf{v} \rangle &= \frac{e^2 n \tau}{m_e^*} \begin{pmatrix} \frac{1}{1 + \left(\frac{e\tau}{m_e^*}\right)^2 B_z^2} & \frac{\left(\frac{e\tau}{m_e^*}\right) B_z}{1 + \left(\frac{e\tau}{m_e^*}\right)^2 B_z^2} & 0 \\ -\frac{\left(\frac{e\tau}{m_e^*}\right) B_z}{1 + \left(\frac{e\tau}{m_e^*}\right)^2 B_z^2} & \frac{1}{1 + \left(\frac{e\tau}{m_e^*}\right)^2 B_z^2} & 0 \\ 0 & 0 & 1 \end{pmatrix} \begin{pmatrix} E_x \\ E_y \\ E_z \end{pmatrix} \\ &= \begin{pmatrix} \sigma_{xx} & \sigma_{xy} & 0 \\ \sigma_{yx} & \sigma_{yy} & 0 \\ 0 & 0 & \sigma_{zz} \end{pmatrix} \begin{pmatrix} E_x \\ E_y \\ E_z \end{pmatrix} \\ &= \sigma_{xx} \left[ \mathbf{E} + \left(\frac{e\tau}{m_e^*}\right)^2 \mathbf{B}(\mathbf{E} \cdot \mathbf{B}) + \frac{e\tau}{m_e^*} (\mathbf{E} \times \mathbf{B}) \right] \\ &\quad \omega_c = \left(\frac{e}{m_e^*}\right) B_z: \text{cyclotron frequency} \end{aligned}$$



# Hall効果

太田英二、坂田亮著、半導体の電子物性光学、培風館 (2005)

Hall効果測定の場合  $J_y = 0$  ( $\mu = \frac{e\tau}{m_e^*}$ ) より

$$en\mu \begin{pmatrix} \frac{1}{1+\mu^2 B_z^2} & \frac{\mu B_z}{1+\mu^2 B_z^2} \\ -\frac{\mu B_z}{1+\mu^2 B_z^2} & \frac{1}{1+\mu^2 B_z^2} \end{pmatrix} \begin{pmatrix} E_x \\ E_y \end{pmatrix} = \frac{\sigma_0}{1+\mu^2 B_z^2} \begin{pmatrix} 1 & \mu B_z \\ -\mu B_z & 1 \end{pmatrix} \begin{pmatrix} E_x \\ E_y \end{pmatrix} = \begin{pmatrix} J_x \\ J_y \end{pmatrix}$$

$$E_x = \frac{1}{\sigma_0} \frac{J_x \sigma_{xx}}{\sigma_{xx} \sigma_{yy} - \sigma_{yx} \sigma_{yx}} = \frac{1}{\sigma_0} J_x$$

$$E_y = -\frac{1}{\sigma_0} \frac{J_x \sigma_{yz}}{\sigma_{xx} \sigma_{yy} - \sigma_{yx} \sigma_{yx}} = \frac{1}{\sigma_0} \mu B_z J_x = \frac{1}{en} B_z J_x = R_H B_z J_x$$

$$R_H = -\frac{E_y}{B_z J_x} = -\frac{V_H W d}{W I_x B_z} \frac{1}{B_z} = -\frac{V_H d}{I_x B_z} = -\frac{1}{en} \text{ (for electron)}$$

# Hall effect: Two-carrier model

太田英二、坂田亮著、半導体の電子物性光学、培風館 (2005)

$$\text{Current } \mathbf{J} = -e\langle \mathbf{v} \rangle = \frac{e^2 n \tau}{m_e^*} \begin{pmatrix} \frac{1}{1 + \left(\frac{e\tau}{m_e^*}\right)^2 B_z^2} & \frac{\left(\frac{e\tau}{m_e^*}\right) B_z}{1 + \left(\frac{e\tau}{m_e^*}\right)^2 B_z^2} & 0 \\ -\frac{\left(\frac{e\tau}{m_e^*}\right) B_z}{1 + \left(\frac{e\tau}{m_e^*}\right)^2 B_z^2} & \frac{1}{1 + \left(\frac{e\tau}{m_e^*}\right)^2 B_z^2} & 0 \\ 0 & 0 & 1 \end{pmatrix} \begin{pmatrix} E_x \\ E_y \\ E_z \end{pmatrix}$$

## Two carrier model

$$\mathbf{J} = \mathbf{J}_e + \mathbf{J}_h = (\sigma_e + \sigma_h) \mathbf{E} + (-\sigma_e \mu_e + \sigma_h \mu_h) \mathbf{E} \times \mathbf{B}$$

$$\rho_{xx}(B) = \frac{1}{e} \frac{(n_h \mu_h + n_e \mu_e) + (n_h \mu_h + n_e \mu_e) \mu_h \mu_e B^2}{(n_h \mu_h + n_e \mu_e)^2 + (n_h - n_e)^2 \mu_h^2 \mu_e^2 B^2}$$

$$\rho_{yx}(B) = B \frac{1}{e} \frac{(n_h \mu_h^2 - n_e \mu_e^2) + (n_h - n_e) \mu_h^2 \mu_e^2 B^2}{(n_h \mu_h + n_e \mu_e)^2 + (n_h - n_e)^2 \mu_h^2 \mu_e^2 B^2}$$

# Hall effect: Two-carrier model with $n_e \sim n_h$

太田英二、坂田亮著、半導体の電子物性光学、培風館 (2005)

## Two carrier model

$$\rho_{xx}(B) = \frac{1}{e} \frac{(n_h \mu_h + n_e \mu_e) + (n_h \mu_h + n_e \mu_e) \mu_h \mu_e B^2}{(n_h \mu_h + n_e \mu_e)^2 + (n_h - n_e)^2 \mu_h^2 \mu_e^2 B^2}$$

$$\rho_{yx}(B) = B \frac{1}{e} \frac{(n_h \mu_h^2 - n_e \mu_e^2) + (n_h - n_e) \mu_h^2 \mu_e^2 B^2}{(n_h \mu_h + n_e \mu_e)^2 + (n_h - n_e)^2 \mu_h^2 \mu_e^2 B^2}$$

$$n_e \sim n_h \sim n$$

$$\rho_{xx}(B) = \frac{1}{en} \frac{1 + \mu_h \mu_e B^2}{\mu_h + \mu_e}$$

$$\rho_{yx}(B) = B \frac{1}{en} \frac{\mu_h - \mu_e}{\mu_h + \mu_e}$$

# Hall effect: Two-carrier model with $\mu_h \sim \mu_e$

太田英二、坂田亮著、半導体の電子物性光学、培風館 (2005)

## Two carrier model

$$\rho_{xx}(B) = \frac{1}{e} \frac{(n_h \mu_h + n_e \mu_e) + (n_h \mu_h + n_e \mu_e) \mu_h \mu_e B^2}{(n_h \mu_h + n_e \mu_e)^2 + (n_h - n_e)^2 \mu_h^2 \mu_e^2 B^2}$$

$$\rho_{yx}(B) = B \frac{1}{e} \frac{(n_h \mu_h^2 - n_e \mu_e^2) + (n_h - n_e) \mu_h^2 \mu_e^2 B^2}{(n_h \mu_h + n_e \mu_e)^2 + (n_h - n_e)^2 \mu_h^2 \mu_e^2 B^2}$$

$$\mu_h \sim \mu_e \sim \mu$$

$$\begin{aligned} \rho_{xx}(B) &= \frac{1}{e \mu (n_h + n_e)} \frac{1 + \mu^2 B^2}{1 + (n_h - n_e)^2 / (n_h + n_e)^2 \mu^2 B^2} \\ &\sim \rho_0 (1 + \mu^2 B^2 - (n_h - n_e)^2 / (n_h + n_e)^2 \mu^2 B^2) \\ &\sim \rho_0 (1 + \mu^2 B^2) \end{aligned}$$

$$\rho_{yx}(B) = B \frac{1}{e (n_h + n_e)} \frac{1 + \mu^2 B^2}{1 + (n_h - n_e)^2 / (n_h + n_e)^2 \mu^2 B^2} \sim B \frac{1}{e (n_h + n_e)}$$

# Hall effect: Two-carrier model

太田英二、坂田亮著、半導体の電子物性光学、培風館 (2005)

When electrons and holes coexist

$$\mathbf{J}_e = \sigma_e \mathbf{E} - \sigma_e \mu_e \mathbf{E} \times \mathbf{B}$$

$$\mathbf{J}_h = \sigma_h \mathbf{E} + \sigma_h \mu_h \mathbf{E} \times \mathbf{B}$$

$$\mathbf{J} = \mathbf{J}_e + \mathbf{J}_h = (\sigma_e + \sigma_h) \mathbf{E} + (-\sigma_e \mu_e + \sigma_h \mu_h) \mathbf{E} \times \mathbf{B}$$

$$R_H = \frac{n_h \mu_h^2 - n_e \mu_e^2}{e(n_h \mu_h + n_e \mu_e)^2}$$

- (i) Only holes:  $n_e = 0 \Rightarrow R_H = \frac{1}{en_h}$
- (ii) Same mobility:  $\mu_h = \mu_e = \mu \Rightarrow R_H = \frac{n_h - n_e}{e(n_h + n_e)^2}$
- (iii) Nearly intrinsic:  $n_h \sim n_e \sim n_i \Rightarrow R_H = \frac{1 - \mu_e/\mu_h}{en_i(1 + \mu_e/\mu_h)}$